

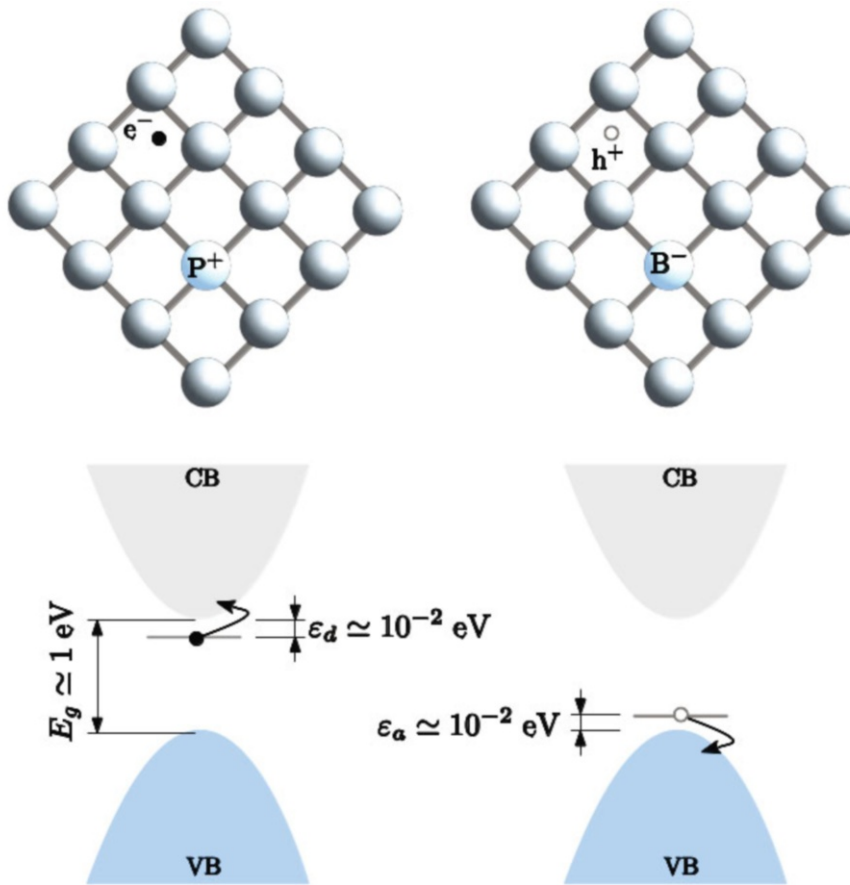


# Полупроводниковые устройства

Лекция 11

2019 г.

# Примесные полупроводники

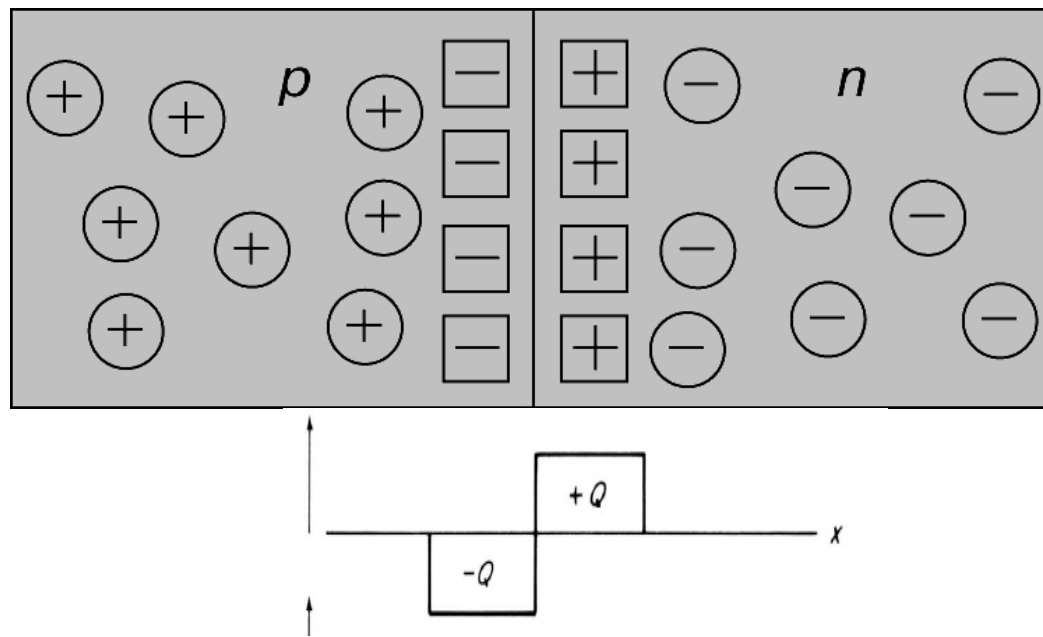


## Получение *p-n* перехода

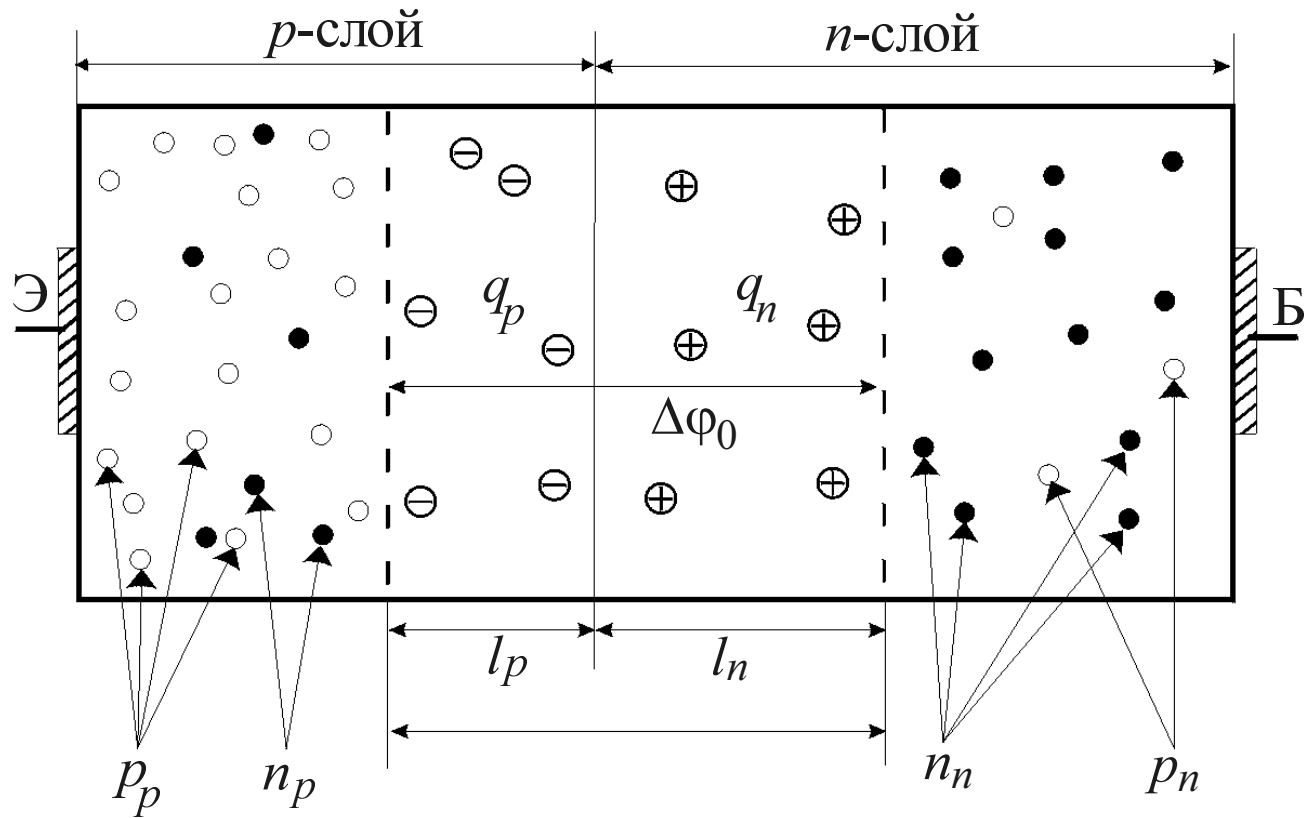
1. Получить *p-n* переход простым соприкосновением полупроводников *p*- и *n*-типа практически не возможно из-за качества поверхности.
2. Можно получить методом сплавления. На кристалл германия *n*-типа кладут кусочек индия. Расплавляют при 500-600 °С. После охлаждения на поверхности германия *n*-типа образуется германий, насыщенный индием с проводимостью *p*-типа.
3. Диффузионный метод получения. Диффузия из газообразной, жидкой или твердой фазы.
4. Эпитаксиальный метод. Метод заключается в осаждении на пластину кремния (например, пластину кремния *n*-типа) за счет химических реакций пленки кремния *p*-типа.
5. CVD-метод – метод осаждения из плазмы.
6. Метод ионного легирования – легирование пучком ионов.

## Равновесное состояние р-п перехода

- Для  $n$ -области основными носителями заряда являются электроны, для  $p$ -области – дырки.



Сразу возникает запирающий *двойной* электрический слой.



### Обозначения

- 1 – диод
- $\rightarrow$  Б
- 2 – ионы  
примеси
- $\oplus$      $\ominus$
- 3 – носители  
тока
- – электроны
- – дырки

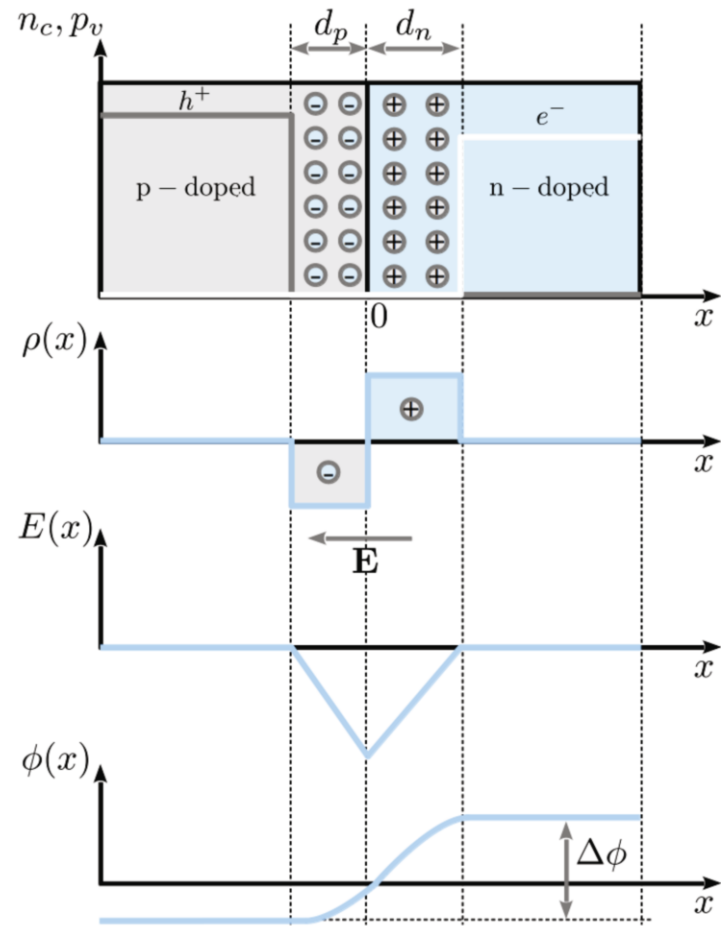
$$l_o = l_p + l_n \approx 5 \text{ мкм}$$

## Упрощенная модель *p-n* перехода

- Основные носители возникают почти исключительно путем ионизации примесей. При не слишком низких температурах примеси практически полностью ионизированы, поэтому концентрация основных носителей заряда ( $n_n$  или  $p_p$ ) приблизительно равна концентрации примесных атомов:

$$n_n = N_d \quad p_p = N_a$$

- Неосновные носители будем обозначать следующим образом: концентрацию дырок в *n*-области как  $p_n$  , концентрацию электронов в *p*-области как  $n_p$  .



## Математическое описание

- То же самое можно описать математически:

$$N_d(x) = \begin{cases} N_d & \text{for } x > 0 \\ 0 & \text{for } x < 0 \end{cases},$$
$$N_a(x) = \begin{cases} N_a & \text{for } x < 0 \\ 0 & \text{for } x > 0 \end{cases}$$

# Диффузионные и дрейфовые потоки

- В рабочем диапазоне температур  $p_p \gg n_p$  и  $n_n \gg p_n$ .

Диффузионные потоки:  $\Delta P_p$  – поток дырок из  $p$ -слоя,  $\Delta N_n$  – поток электронов из  $n$ -слоя.

Дрейфовые потоки:  $\Delta N_p$  – поток электронов из  $p$ -слоя,  $\Delta P_n$  – поток дырок из  $n$ -слоя,  $\Delta\phi_0$  – контактная разность потенциалов на  $p-n$ -переходе.

3. Рассмотрим несимметричный  $p-n$ -переход, при котором концентрация акцепторов  $N_a$  и концентрация доноров  $N_d$  неодинаковы. Такой переход обычно формируют в полупроводниковых диодах. Например, пусть  $N_a = 100\dots 1000 N_d$ . Тогда при активации примеси  $P_p \gg N_n$ . Низкоомный  $p$ -слой, содержащий много основных носителей тока, называют эмиттером ( $\mathcal{Э}$ ), а более высокоомный  $n$ -слой называют базой ( $\mathcal{Б}$ ).

## Закон действующих масс и концентрации носителей тока

- Из закона действующих масс следует, что  $p_p n_p = n_n p_n$
- Поскольку мы приняли, что  $p_p \gg n_n$ , то

$$p_p \gg n_n \gg p_n \gg n_p$$

- Тепловое движение приводит к самопроизвольной диффузии электронов и дырок на границе р и n-слоев.

# Объёмные заряды в переходной области *p-n* перехода

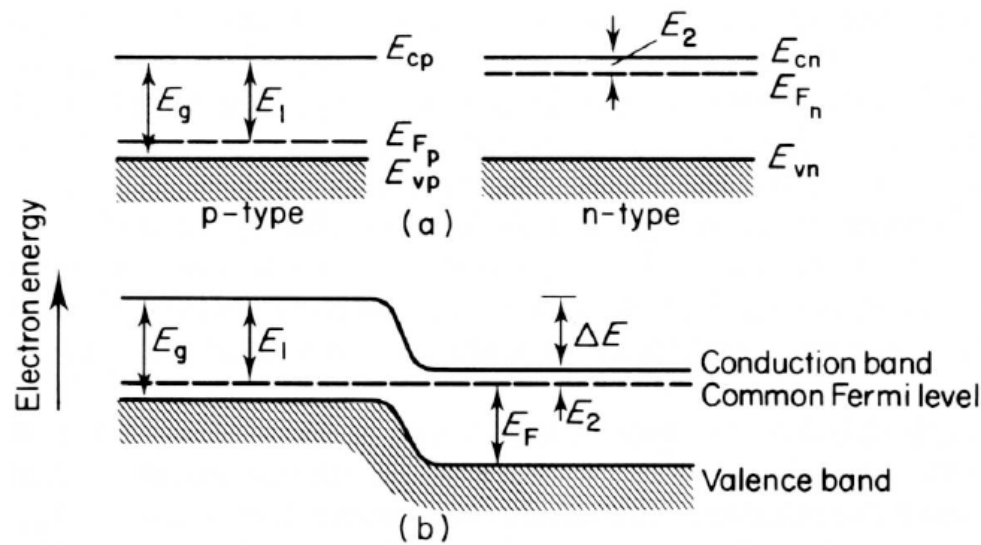
- Вследствие рекомбинации на границе образуются заряды, сформированные ионами примесей: донорные ионы образуют заряд  $q_n = eN_d l_n S$ . Акцепторные ионы дают заряд  $q_p = -eN_a l_p S$
- В силу электронейтральности имеем, что  $q_n = -q_p$ .

Так как  $q_p = -q_n$ , то  $N_a l_{p_0} = N_d l_n$ . При несимметричном *p-n*-переходе ( $N_a \gg N_d$ ) имеем  $l_p \ll l_n$ . Таким образом  $l_0 \approx l_n$  и *p-n*-переход размещен в основном в высокоомной базе.

# Схема энергетических зон для *p-n* перехода

- В условиях равновесия уровни Ферми выравниваются по всему объёму полупроводника.

Относительно «горизонтального», общего для всего объема, уровня Ферми строятся валентная зона и зона проводимости, которые в области *p-n*-перехода оказываются «наклонными».



# Дрейфовые и диффузионные потоки электронов и дырок

- Высота потенциального барьера:  $\Delta E = e\Delta\varphi$ .

При температуре  $T = 300$  К высота барьера  $\Delta E_0 \approx 0,35$  эВ ( $\Delta\varphi_0 = 0,35$  В) для Ge и  $\Delta E_0 \approx 0,65$  эВ ( $\Delta\varphi_0 \approx 0,65$  В) для Si.

Так как дырочный газ в валентной зоне – невырожденный, его концентрация при  $T = \text{const}$  распределяется по закону Больцмана

$$p_n = p_p e^{-\Delta E/k_B T}$$

- Отсюда

$$\Delta E = k_B T \ln \frac{p_p}{p_n}$$

Поскольку в равновесном состоянии  $p_p \gg p_n$ , то диффузионный поток  $\Delta p_p$  не прекращается, но компенсируется встречным дрейфовым потоком дырок  $\Delta p_n$ :

$$\Delta p_p = \Delta p_n$$

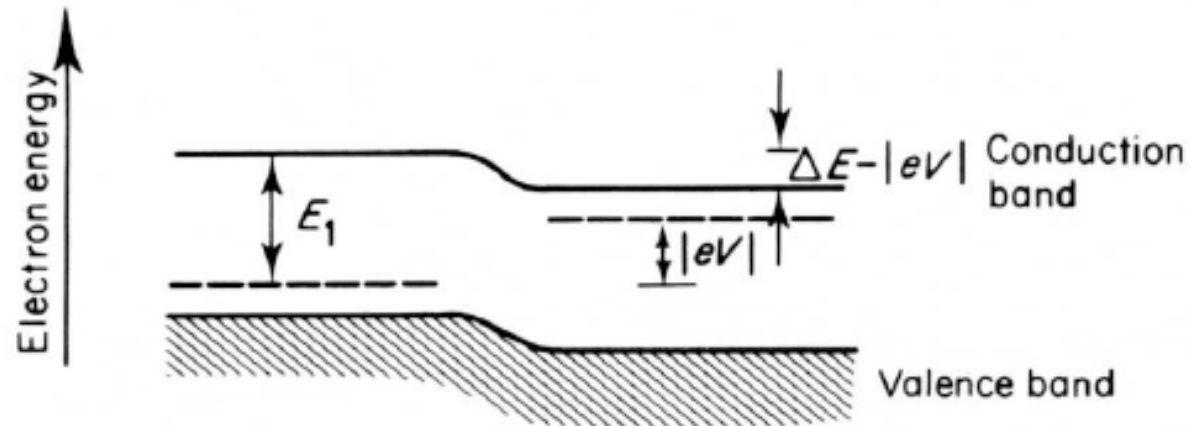
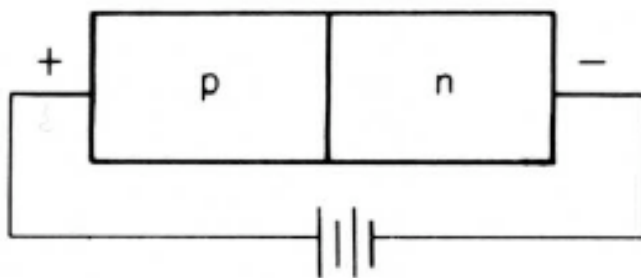
Величина дрейфового потока не зависит от высоты потенциального барьера  $\Delta E$ , а зависит от концентрации дырок  $p_n$  – неосновных носителей тока в  $n$ -слое. В соответствии с формулой, она сильно зависит от температуры.

## Прямое смещение *p-n* перехода

- Разность потенциалов  $\Delta\varphi$  на границе *p-n* перехода можно изменять относительно контактной разности потенциалов  $\Delta\varphi_0$  с помощью внешнего напряжения  $V$ , подаваемого на клеммы Э и Б.

Если напряжение  $U$  приложено так, что  $\Delta\varphi < \Delta\varphi_0$ , оно называется напряжением «прямого смещения» *p-n*-перехода или прямым напряжением на полупроводниковом диоде. В рассматриваемом здесь случае полярность прямого напряжения должна иметь плюс на Э и минус на Б.

$$\Delta\varphi = \Delta\varphi_0 - V \quad \Delta E = e\Delta\varphi = \Delta E_0 - eV$$



**6.** При «прямом смещении» и при  $T = \text{const}$  концентрация неосновных носителей – дырок в  $n$ -слое  $P_n$  и дрейфовый поток  $\Delta P_n$  дырок из  $n$ -слоя практически остаются такими же, как и в состоянии равновесия.

Диффузионный же поток дырок  $\Delta P_p$  из  $p$ -слоя, зависящий от высоты  $\Delta E$  барьера, существенно возрастает по сравнению с равновесным значением:  $\Delta P_p \gg \Delta P_{p0}$ . В  $n$ -слое за счет этого потока появляются «избыточные неосновные носители тока» – дырки. Этот процесс нагнетания из эмиттера в базу неосновных носителей называют инжекцией.

**Примечание.** Если  $p-n$ -переход симметричный, аналогичным образом рассматриваются электронные потоки в зоне проводимости, инжекция электронов из  $n$ -слоя, диффузионный электронный ток, соответствующий формуле (4), но содержащий тепловой ток электронов  $I_{on}$ . Прямой ток является суммой дырочного и электронного токов.

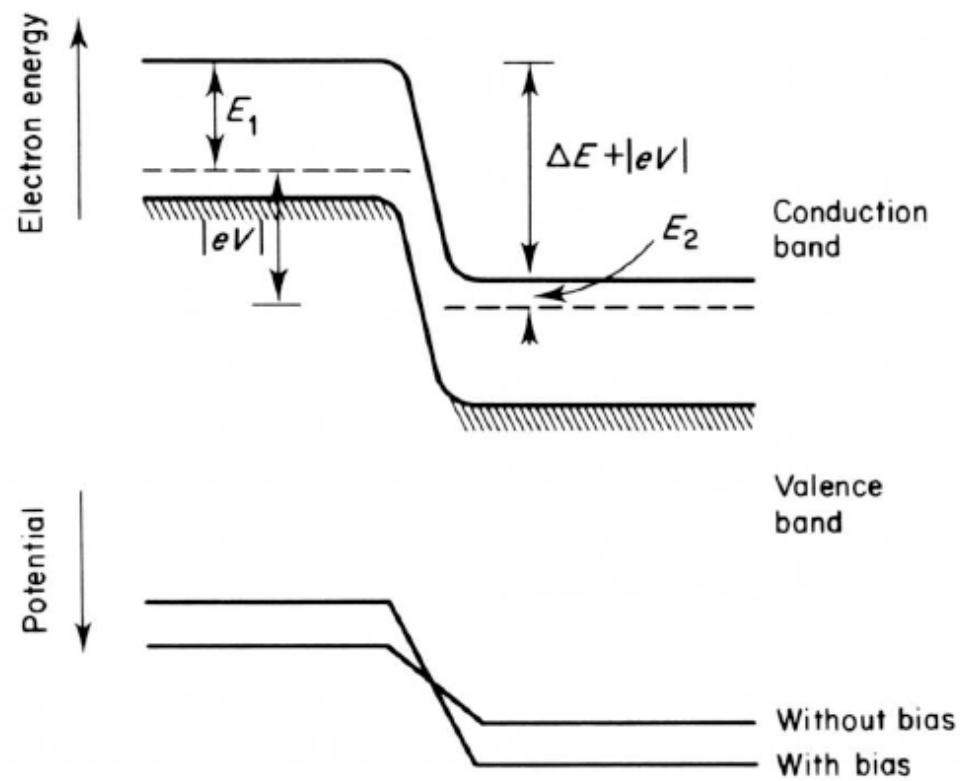
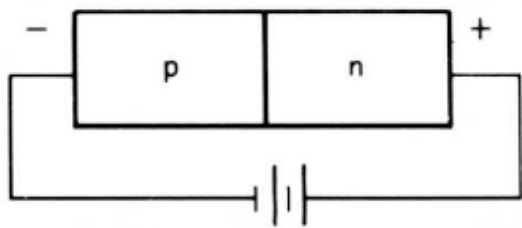
## Обратное смещение *p-n* перехода

- Напряжение смещения  $V$  называют обратным напряжением, если оно приложено так, что  $\Delta\varphi > \Delta\varphi_0$ .

$$\Delta\varphi = \Delta\varphi_0 + V \quad \Delta E = e\Delta\varphi = \Delta E_0 + eV$$

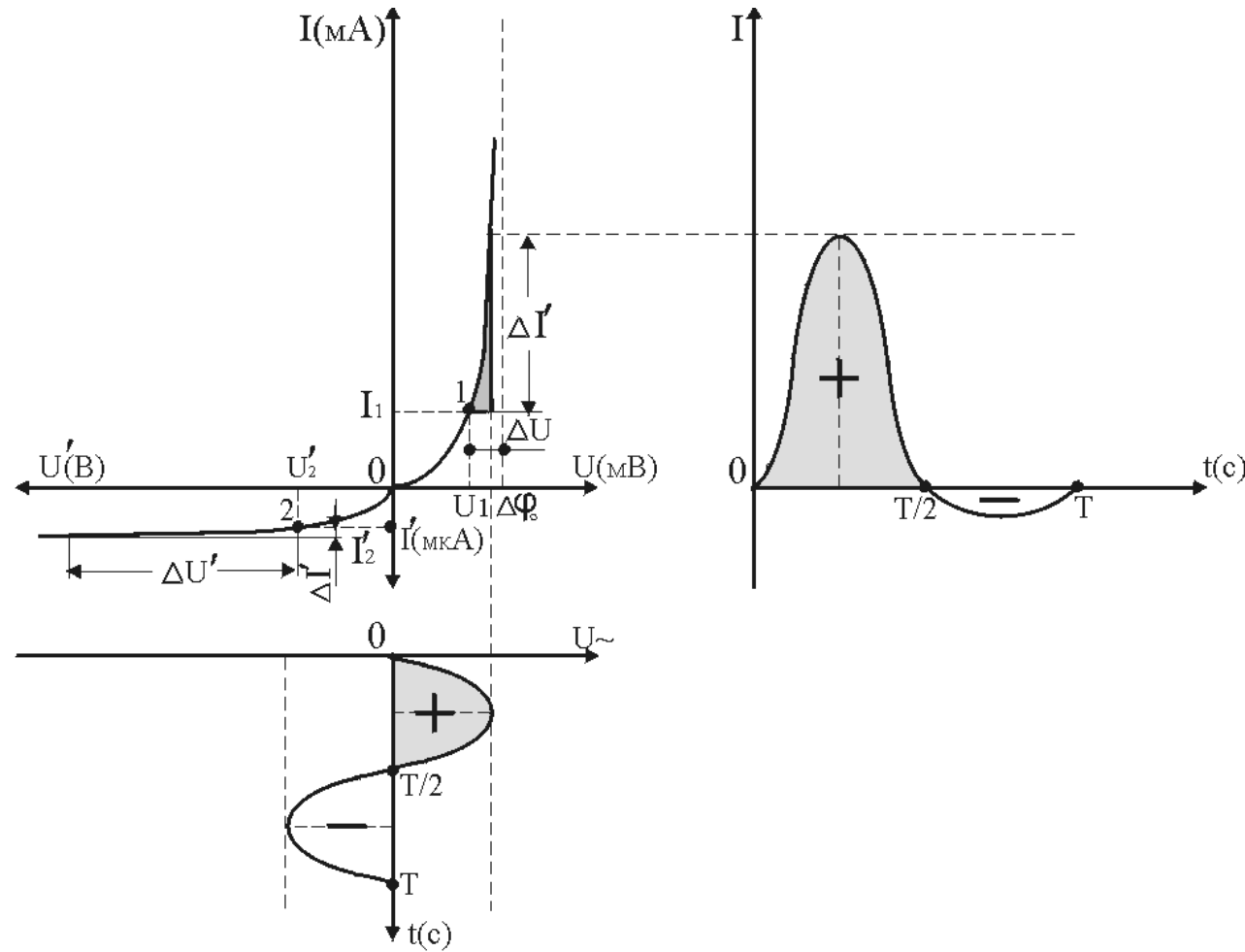
8. При обратном смещении и при  $T = \text{const}$  дрейфовый поток  $\Delta P_n$  дырок из *n*-слоя остается таким же, как и в состоянии равновесия.

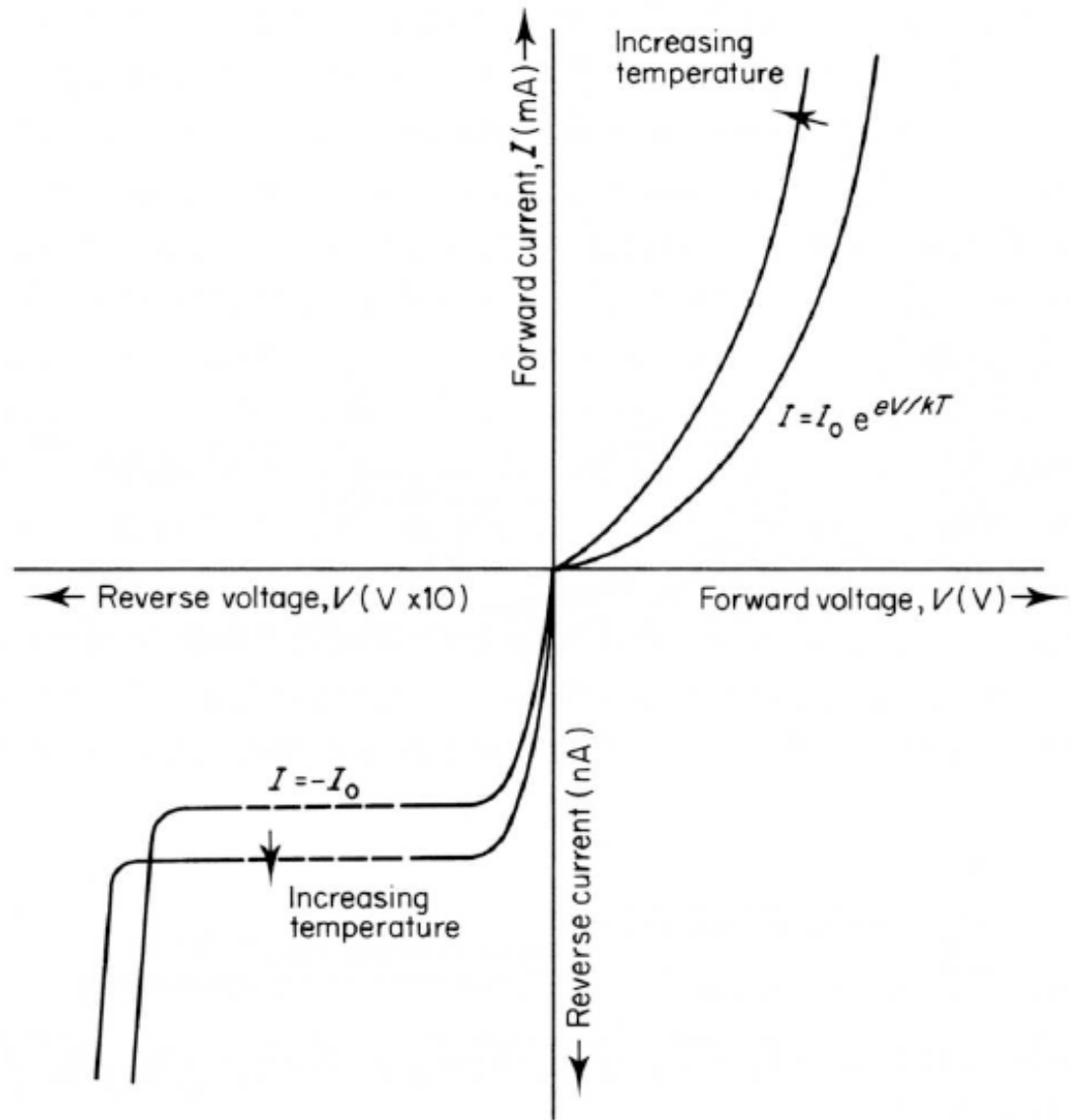
Диффузионный же поток дырок  $\Delta P_p$  из *p*-слоя ввиду увеличения высоты  $\Delta E$  потенциального барьера ( $\Delta E > \Delta E_0$ ) существенно уменьшается по сравнению с равновесным значением:  $\Delta P_p \ll \Delta P_{po}$ .



# Вольт-амперная характеристика полупроводникового диода

• А





## Ток через р-п-переход

- В общем случае концентрация электронов в зоне проводимости определяется соотношением (распределение Максвелла – Больцмана):

$$n = N_c \exp[-(E_c - E_F)/kT]$$

Соответственно, в  $p$ -области перехода концентрация электронов в зоне проводимости равна

$$n_p = N_c \exp\left[-(E_{cp} - E_{F_p})/kT\right]$$

- В соответствии с рисунком, имеем

$$E_1 = E_{cp} - E_{F_p}$$

- Поэтому

$$n_p = N_c \exp[-E_1/kT]$$

Электронный ток из  $p$ -области обусловлен дрейфом электронов и пропорционален их концентрации

- Отсюда имеем

$$i'_e = A' \exp[-E_1/kT]$$

- Аналогично для  $n$ -области имеем

$$n_n = N_c \exp[-E_2/kT]$$

- С учетом потенциального барьера  $\Delta E$  сила тока равна

$$i_e = A \exp[-E_2/kT] \exp[-\Delta E/kT]$$

## В условиях равновесия

$$i'_e = i_e$$

$$A' \exp[-E_1/kT] = A \exp[-E_2/kT] \exp[-\Delta E/kT] = A \exp[-(E_2 + \Delta E)/kT]$$

- Из рисунка следует, что  $E_1 = E_2 + \Delta E$ , поэтому

$$A = A'$$

Теперь для силы тока можно записать, что

$$i_e = i'_e = A \exp[-E_1/kT]$$

$$i_h = i'_h = A \exp[-E_1/kT]$$

- Нижнее уравнение – дырочный ток

При наложении внешней разности потенциалов, получим

- для тока

$$\begin{aligned} i_e &= A \exp[-E_2/kT] \exp[-(\Delta E + eU)/kT] = \\ &= A \exp[-E_1/kT] \exp[-eU/kT] \end{aligned}$$

$$i'_e = A' \exp[-E_1/kT]$$

Результирующий ток равен

$$I_e = i_e - i'_e = i'_e \left\{ \exp \left[ -\frac{eU}{kT} \right] - 1 \right\}$$

- Аналогично для дырочного тока:

$$I_h = i_h - i'_h = i'_h \left\{ \exp \left[ -\frac{eU}{kT} \right] - 1 \right\}$$

Теперь полный ток через переход можно записать в виде

$$I = I_0 \left\{ \exp \left[ -\frac{eU}{kT} \right] - 1 \right\}$$

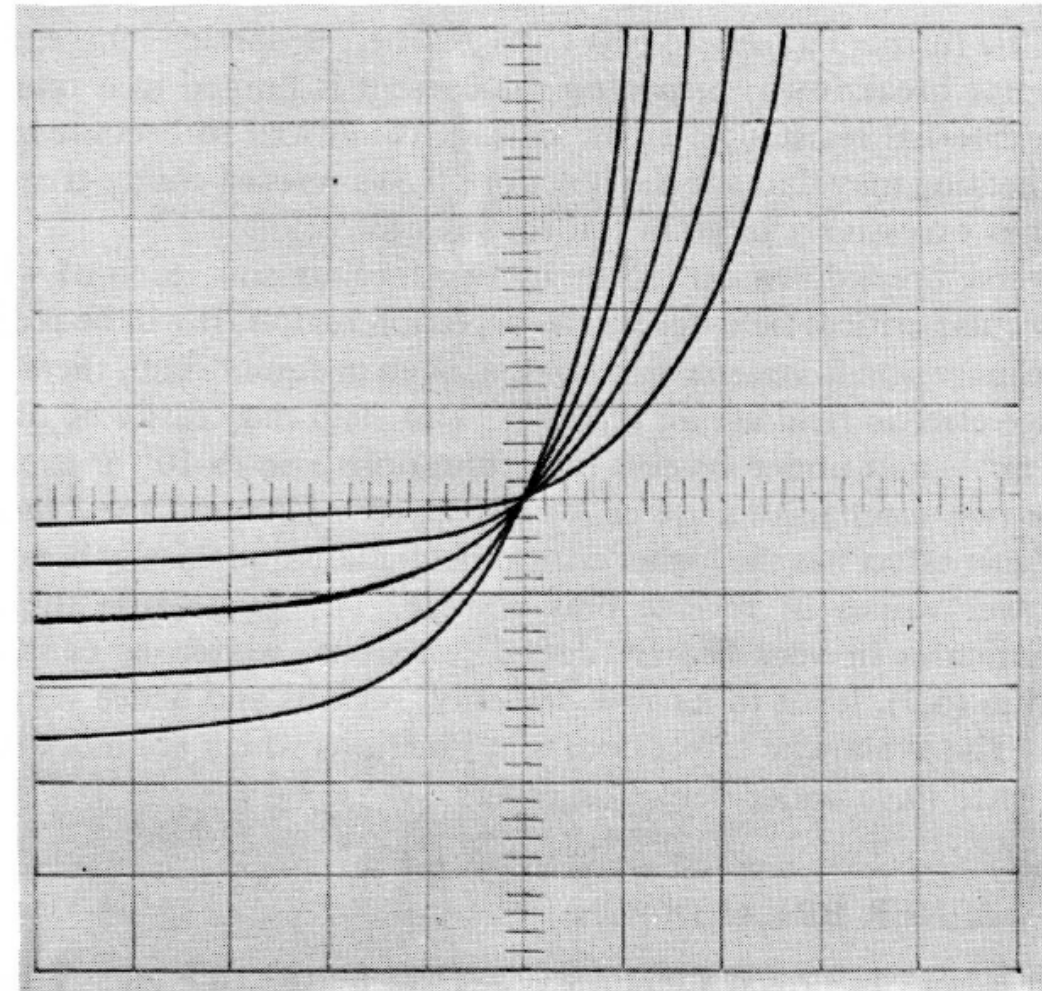
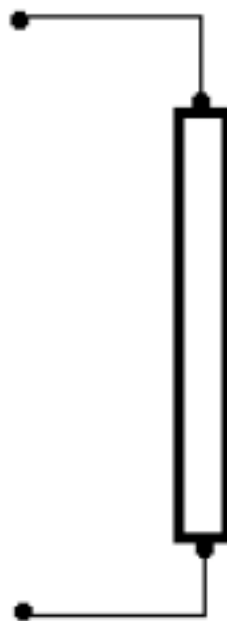


Figure 6.14. Effect of temperature on pn junction characteristics, at temperatures of 20, 40, 50 and 60 °C: horizontal scale 0.05 V per division; vertical scale 0.01 mA per division

# Жорес Алферов



Терморезистор (термистор, термосопротивление) - зависимость сопротивления от температуры



редко Si; для низких температур Ge  
(точные терморезисторы)

обычно - окислы металлов  
 $\text{CuO}/\text{Cu}_2\text{O}/\text{Mn}_2\text{O}_3$  ,  $\text{CoO}/\text{Mn}_2\text{O}_3$  ,  
 $\text{NiO}$  ,  $\text{FeO}/\text{Fe}_2\text{O}_3$  , т.д.

$R \approx R_0 e^{B\left(\frac{1}{T_0} - \frac{1}{T}\right)}$  - экспоненциально падает с ростом абсолютной температуры

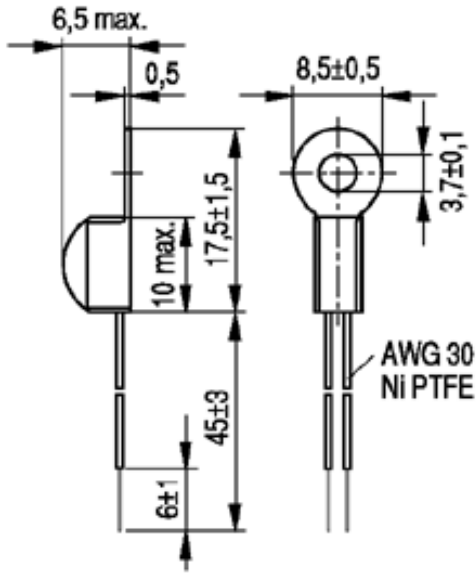
Пример: компенсация ОС в цветных телевизорах и в дисплеях:

$$\frac{dR}{dT} < 0$$
$$\frac{dR_L}{dT} > 0$$

$$\frac{dR}{dT} + \frac{dR_L}{dT} = 0$$

$$R \ll R_L$$

# Тепловые сопротивления (термисторы)



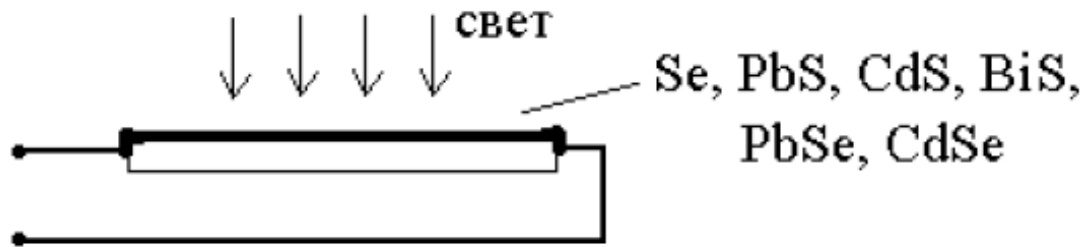
Полупроводники:

- Применение в качестве чувствительных термометров при дистанционных измерениях
- Использование в качестве термометров для замера температур окружающей среды



[Термистор\(видео – опыт\)](#)

**Фоторезисторы (фотосопротивления)** - зависимость сопротивления от освещенности



$$R_\Phi = R_0 \frac{I_{\Phi 0}}{I_\Phi} \text{ - т.е. } i \propto I_\Phi \quad \text{в большинстве случаев}$$

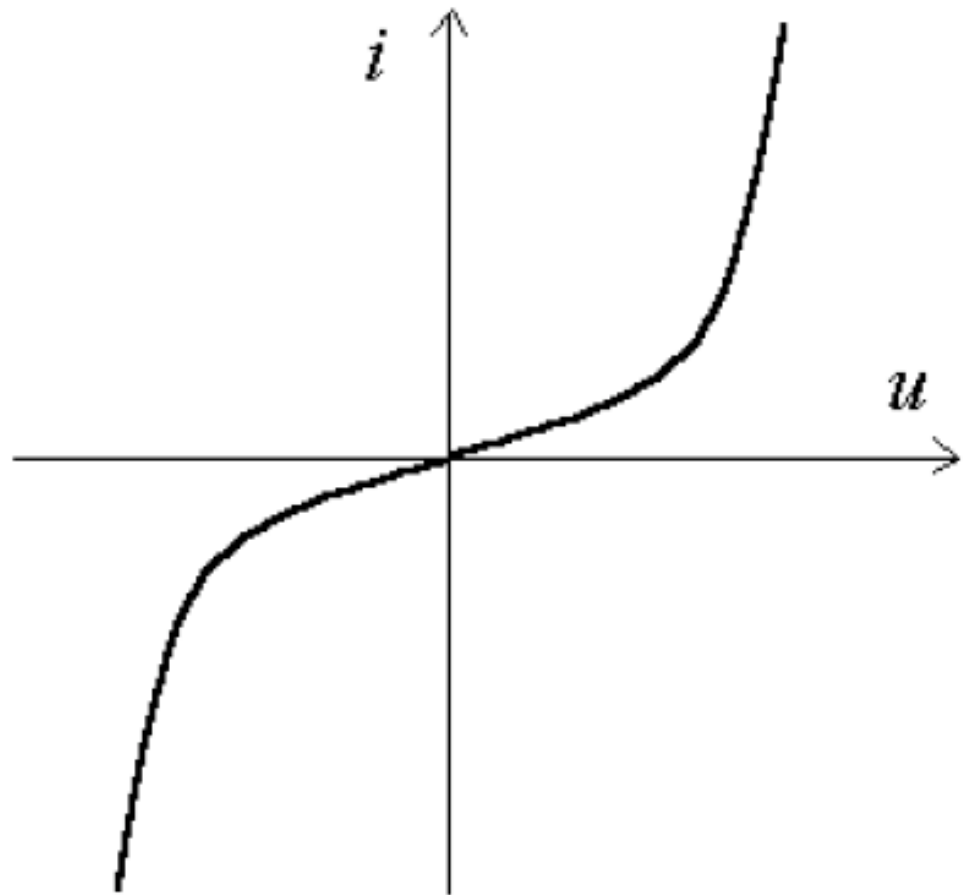
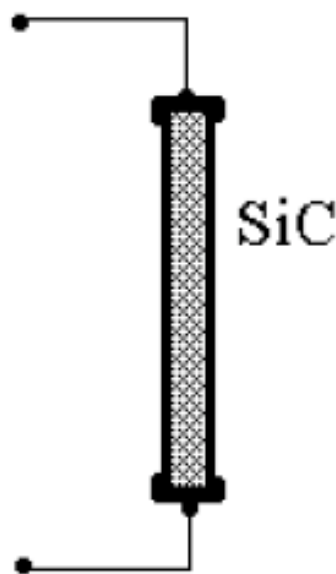
Обычно  $R_{TEMH} \sim 100K\Omega - 1G\Omega$     $R_{CBET} \sim 100\Omega - 10K\Omega$

Применение - измерение и регулировка освещенности, фотодатчики

Недостаток - инерционность

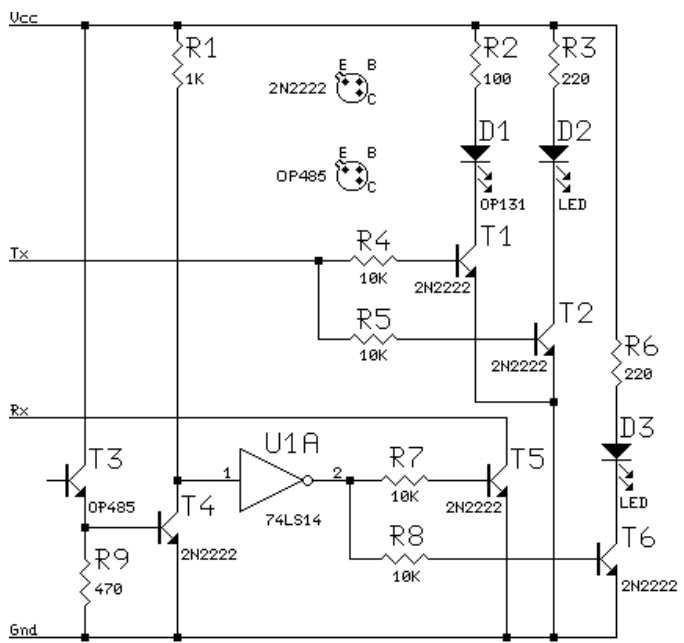
Достоинство - обычно линейная зависимость  $i(u) = \frac{u}{R(I_\Phi)}$  (закон Ома)

## Варистор (нелинейное сопротивление)



Применение : стабилизация высоких напряжений (телевизоры, дисплеи), защита от перенапряжения

# Фоторезистор



Когда на транзистор падает свет достаточно большой энергии, т.е. с достаточно малой длиной волны, в нем освобождаются электронно-дырочные пары. Если пары возникают вблизи  $p$ - $n$ -перехода с напряжением обратного смещения, они могут диффундировать в область перехода. Один из носителей может быть ускорен напряжением, имеющимся на переходе, и тогда он приобретает способность освобождать дополнительные заряды в процессах столкновения. В материале  $n$ -типа ускоряется дырка, в материале  $p$ -типа – электрон. Поскольку заряды несут ток через переход, он возникает и во внешней цепи, т.е. свет преобразуется в электрический ток.

# Фоторезистор

Использование:

1. Регистрация и изменения слабых световых потоков.
2. Обнаружение инфракрасных лучей.
3. В автоматических устройствах, служащих для подсчета изделий движущихся на конвейере, контроля их размеров

Например, турникет в метро работает именно по такому принципу.

